УЛК 591.1

БИОФИЗИКА

Л. Я. ГЕНДЕЛЬ, И. Б. ФЕДОРОВИЧ, М. А. ОСТРОВСКИЙ А. Б. ШАПИРО, К. Е. КРУГЛЯКОВА

ИССЛЕДОВАНИЕ МЕТОДОМ СПИНОВЫХ ЗОНДОВ ФОТОИНДУЦИРОВАННЫХ КОНФОРМАЦИОННЫХ ПЕРЕХОДОВ В ФОТОРЕЦЕПТОРНОЙ МЕМБРАНЕ НАРУЖНЫХ СЕГМЕНТОВ ПАЛОЧЕК

(Представлено академиком Н. М. Эманиэлем 1 XII 1971)

Конформационные изменения в фоторецепторной мембране, содержащей зрительный пигмент, до сих пор не показаны, хотя ряд косвенных данных свидетельствует в пользу этого. Так, например, освещение видимым светом суспензии наружных сегментов фоторецепторов приводит к повышению экстрактабельности липидов (1, 2) и белков (3), пеболь-

тому изменению циркулярного дихроизма солюбилизированного родопсина в его белковой области (4).

В настоящей работе предпопытка обнарупринята жить прямым методом спиновых зонлов фотоиндупироконформационные ванные изменения в мембранах насегмента палочек ружного лягушки. Метоп сетчатки зоннов. который спиновых исследованиях находит В биологических мембран все более широкое применение, тозволяет изучать слабые взаимодействия матрице существенного нарушения ее молекулярной структуры и нормальных ций $(^{5-9})$.

В качестве молекулярных зондов были использованы гидрофобные иминоксильные монорадикал (I) и бирадикал (II) (10, 16) (рис. 1).

Поведение зондов в мембране оценивали по времени

корреляции (τ) , имеющему смыси среднего времени поворота радикала на угол $\pi/2$, по формуле (1)

Рис. 1. Структурные формулы и спектры **э.п.р.** зондов I и II в этаноле $(10^{-3} M)$

$$\tau = -8.4 \,\Delta H_{\text{max (+1)}} \cdot \left(1 - \sqrt{\frac{I(\frac{1}{1}1)}{I(-1)}}\right) \cdot 10^{-10} \text{ cer.},\tag{1}$$

где $\Delta H_{\max (+1)}$ — ширина (в эрстедах) между точками максимального наклона компоненты спектра, соответствующей меньшему значению магнитного поля $(m_N=+1)$, I (± 1) — интенсивность крайних компонент, лежащих в высоких полях $(m_N=-1)$ и низких $(m_N=+1)$.

Особенности спектра э.п.р. бирадикала определяются обменными взаимодействиями, модулируемыми внутримолекулярными движениями парамагнитных центров. В качестве дополнительного эффективного параметра поведения зонда — бирадикала использовали величину ν , рассчитанную по формуле (12)

$$v = \frac{9.85 \cdot 10^7}{(\sqrt{2I(\pm 2)/I(\pm 1)} - 1) \cdot \Delta H_{\max(\pm 2)}} \text{ cek}^{-1},$$
 (2)

где $I(\pm 2)$, $I(\pm 1)$ — интенсивность линий резонансного поглощения с $M=m_1+m_2=\pm 2$ и ± 1 ; $\Delta H_{\rm max\ (\pm 2)}$ — ширина (в эрстедах) между точка-

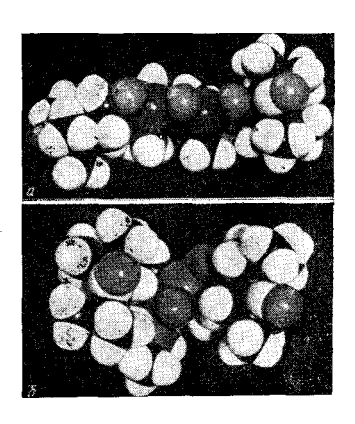


Рис. 2. Молекулярные модели зонда II в двух крайних конформациях: a — радикальные фрагменты максимально удалены, δ — максимально сближены

ми максимального наклона линии M (± 2). Согласно (12), величина v отражает интенсивность внутримолекулярных движений бирадикала. Установлено, что у увеличивается при возрастании температуры и уменьшении вязкости системы (¹²). Это позволяет рассматривать параметр у в качестве характеристики поведения бирадикального зонда, зависящей от микровязкости его локального окружения. Можно сказать, что уменьшение величины у, также как и увеличение времени корреляции, свидетельствует об увеличении микровязкости ближайшего окружения зонда. В тех случаях, когда интенсивность внутримолекулярных движений бирадикала высока и парамагнитные центры сталкиваются часто, спектр э.п.р. бирадикала представляет собой квинтет, обусловленный обменным взаимодействием монорадикальных фрагментов; в другом предельном случае спектр э.п.р. состоит из трех линий и прак-

тически не отличается от спектра э.п.р. монорадикала.

На рис. 2 изображены молекулярные модели зонда II, иллюстрирующие некоторые возможные конформации, которые реализуются при его внутримолекулярных движениях. Молекулярные модели позволили оценить максимальное (\sim 17,5 Å) и минимальное (\sim 5,4 Å) расстояния между радикальными фрагментами (рис. 2).

Объектом исследования служила суспензия наружных сегментов палочек сетчатки лягушки, полученная при центрифугировании в градиенте плотности сахарозы (12). Чистоту фракции контролировали под микроскопом. Образцы для э.п.р.-спектроскопии содержали 0,04 мл суспензии наружных сегментов (0,7—1,0 мг белка), 0,005 мл спиртового раствора зонда ($^{10^{-3}}$ $^{-3}$

На рис. 1 приведен спектр э.п.р. спиртового раствора зонда I, представляющий симметричный триплет равноотстоящих компонент одинаковой интенсивности. Солюбилизация зонда I фоторецепторной мембраны приводит к появлению апизотропного спектра э.п.р., отражающего некоторую заторможенность вращательных движений радикала в матрице — мембране ($\tau \sim 5,2 \cdot 10^{-10}$ сек.). Спектр э.п.р. зонда I существенно не изменяется в течение 1,5-2 часа инкубации образцов в темноте при $t=4^\circ$; при этом не происходит также каких-либо спектральных изменений зрительного пигмента.

Освещение образцов вызывает значительные изменения спектров э.п.р. (существенное возрастание анизотропии), что указывает на увеличение

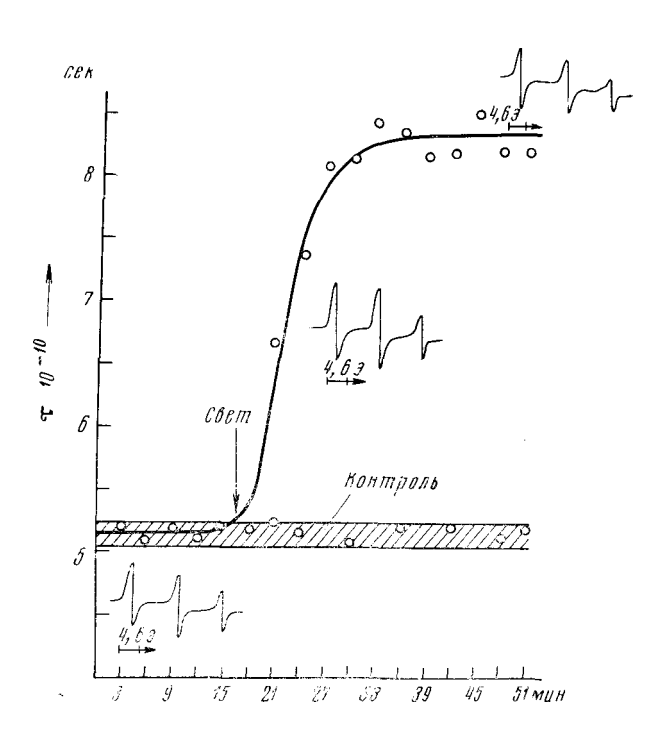


Рис. 3. Фотоиндуцированные изменения времени корреляции (τ) зонда I, солюбилизированного фоторецепторной мембраной. В кривую вмонтированы спектры э.п.р. зонда I зарегистрированные до и в различные моменты после начала освещения образца видимым светом

времени корреляции вращательной диффузии зонда (рис. 3). Кривая изменения времени корреляции от длительности освещения носит S-образный характер. Это позволяет заключить, что фотолиз зрительного пигмента сопряжен с переходом фоторецепторной мембраны из одного дискретного конформационного состояния в другое. Вследствие конформационного перехода увеличивается микровязкость гидрофобных областей мембраны, где локализован зонд, что, в свою очередь, приводит к увеличению параметра т.

Подобные результаты были получены также при использовании в качестве гидрофобного спин-зонда бирадикала (II). Анализ времен корреляции и в этом случае показал, что под действием видимого света фоторецепторная мембрана претерпевает конформационный переход между двумя дискретными состояниями. Применение гидрофобных бирадикалов позволяет весьма наглядно фиксировать существование конформационных переходов матрицы — мембраны. Как видно из рис. 4, спектр э.п.р. зонда II. солюбилизированного фоторецепторной мембраной в темноте, представляет собой хорошо разрешенный квинтет, свидетельствующий о достаточно высокой интенсивности внутримолекулярных движений бирадикала. В ходе освещения образца видимым светом величина у уменьшается (рис. 4); через 25—30 мин. после начала освещения в спектре э.п.р. бирадикала полностью пропадают дополнительные линии $(M\ (\pm 1))$ между компонентами триплетного спектра, свойственного монорадикалам. Такие изменения в спектрах э.п.р. зонда II могут быть истолкованы как результат конформационного изменения мембраны, обусловленного фотохимическими превращениями зрительного пигмента.

Следует отметить, что квинтетный спектр э.п.р. бирадикала — зонда II наблюдается только в случае свежеприготовленной фоторецепторной мембраны. Хранение суспензии фоторецепторов в темноте в течение 48 час. $(t=4^{\circ})$ приводит, как известно, к утрате ими некоторых функциональ-

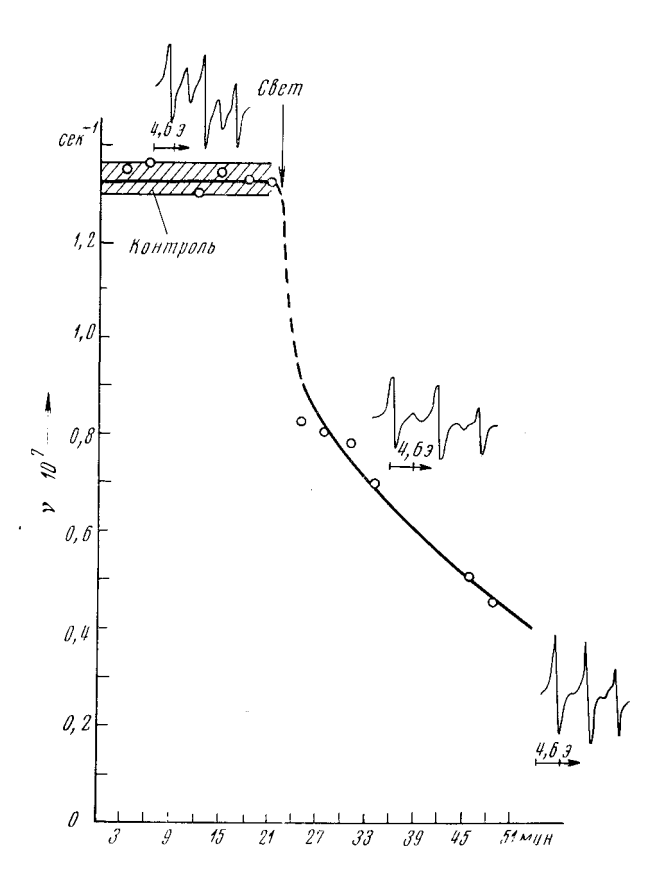


Рис. 4. Фотоиндуцированные изменения параметра для зонда II, солюбилизированного фотореценторной мембраной. В кривую вмонтированы спектры э.п.р. зонда II, зарегистрированные до и в различные моменты после начала освещения образца видимым светом

ных свойств (14). В таких «старых» препаратах исходно регистрируется триплетный спекто э.п.р. зонда II. Это позволяет препположить. «старение» сопронефункциовожлается нальными пеструктивизменениями ными мембранах наружного сегмента.

В отлельных случаях после обесцвечивания видимым светом суспензии наружных сегменгов наблюдали медленную гибель радикалов, которые восстанавливались по гипроксиламина вероятно, в результате взаимолействия с промежуточными луктами фотолиза poдопсина или с ферментными системами наружного сегмента. Это представляет явление самостоятельный интерес и требует дальнейшего исследования.

Обнаруженный фотоиндупированный формационный переход в фоторецепторной мем-

бране наружного сегмента является следствием фотолиза молекулы зрительного пигмента — ее основной хромофосфолинопротеиновой единицы. В настоящее время предпринимаются попытки выяснить, не носит ли этот процесс кооперативный характер. Фотоиндуцированные конформационные изменения фоторепепторной мембраны являются, по-видимому, важным звеном в механизме фоторецепции — трансформации энергии кванта света в зрительный сигнал.

Институт химической физики Академии наук CCĈP Москва

Поступило 29 XI 1971

ЦИТИРОВАННАЯ ЛИТЕРАТУРА

ЦИТИРОВАННАЯ ЛИТЕРАТУРА

¹ М. Ishimoto, G. Wald, Federat. Proc., 5, 50 (1946). ² R. G. Adams, J. Lipid Res., 8, 245 (1967). ³ P. H. Этингоф, C. A. Шуколюков, Цитология, 11, 1542 (1969). ⁴ R. Hubbard, D. Bownds, T. Yoshizawa, Gold. Spring Harbor Symp. Quant. Biol., 30, 301 (1965). ⁵ A. D. Keith, A. S. Waggoner, O. M. Griffith, Proc. Nat. Acad. Sci. U.S.A., 61, 819 (1968). ⁶ Л. Я. Гендель, М. Г. Гольдфельдидр. Виофизика, 8, 1114 (1968). ⁶ Л. Я. Гендель, М. Г. Гольдфельдидр. Виофизика, 8, 1114 (1968). ⁶ М. Соппеll, В. G. МсГагland, Quart. Rev. Biophys, 3, 91 (1970). ⁶ В. К. Кольтовер, Л. М. Райхман и др., ДАН, 197, 219 (1971). ⁶ Е. G. Rozantsew, L. A. Krinitzkaya, Tetrahedron, 21, 497 (1965). ⅙ И. Сухоруков, А. М. Вассерман и др., ДАН, 177, 454 (1967). ⅙ А. Л. Бучаченко, Докторская диссертация, М., 1968. ⅙ И. Б. Федорович, М. А. Островский, Биофизика, 13, 449 (1968). ⅙ Л. Н. Н. М. De Pont, F. J. М. Daemen, S. L. Bonting, Arch. Biochem. and Biophys., 140, 275 (1970). (1970).